

شبه‌سازی عددی تأثیر نوسان جت بر خوردی سینوسی بر انتقال حرارت از سطح مقعر استوانه‌ای*

علی حاجی محمدی^(۱) مهران رجیبی زرگرآبادی^(۲)

چکیده این مقاله در مورد تحلیل عددی جریان و انتقال حرارت آشفته در جت دایره‌ای بر خوردی نوسانی به سطح مقعر استوانه‌ای بحث می‌کند. در این راستا معادلات متوسط‌گیری شده برای جریان تراکم‌ناپذیر آشفته در حالت غیردائم به همراه مدل آشفتنگی $RNG\ k-\epsilon$ در یک فضای محاسباتی سه‌بعدی حل شده است. تأثیر فرکانس نوسان، دامنه نوسان و عدد رینولدز بر توزیع متوسط زمانی عدد ناسلت سطح، مورد بررسی قرار گرفته است. نتایج به دست آمده نشان می‌دهد که در مقایسه با جت پایا، استفاده از جت نوسانی در محدوده فرکانس ۵۰ تا ۲۰۰ هرتز باعث افزایش میانگین انتقال حرارت از سطح می‌شود. همچنین با افزایش عدد رینولدز از ۱۰,۰۰۰ به ۴۰,۰۰۰ و افزایش دامنه نوسانات از ۰/۴ تا ۱، متوسط زمانی عدد ناسلت افزایش یافته است.

واژه‌های کلیدی جریان آشفته؛ جت بر خوردی نوسانی؛ موج سینوسی؛ عدد ناسلت؛ سطح مقعر.

Numerical Simulation of the Effects of Sinusoidal Pulsed Impinging Jet on Heat Transfer from the Concave Cylindrical Surface

A. Hajimohammadi

M. Rajabi Zargarabadi

Abstract In this study, the numerical analysis of turbulent flow and heat transfer of oscillating impinging circular jet on concave cylindrical surface has been investigated. In this way, the averaged Navier-Stokes equations for turbulent incompressible flow in an unsteady state with $RNG\ k-\epsilon$ turbulent model and in 3D computational space were solved. The effects of oscillation frequency, amplitude of oscillation and Reynolds number on Time-averaged Nusselt number Distribution in concave surface were studied. The obtained results show that applying the pulsating jet in the range of 50 to 200 Hz can increase heat transfer from concave surface in comparison with the steady jet. Furthermore, increasing Re number from 10000 to 40000 and amplitude of oscillation from 0.4 to 1, leads to the increase of time-averaged Nusselt number.

Key Words Turbulent flow; Sinusoidal Waveform; Impinging Pulsated Jet; Nusselt number; Concave Surface

* تاریخ دریافت مقاله ۹۵/۷/۲۱ و تاریخ پذیرش آن ۹۶/۱/۲۹ می‌باشد. DOI: 10.22067/fum-mech.v29i1.59499

(۱) کارشناس ارشد، دانشکده مهندسی مکانیک، دانشگاه سمنان.

(۲) نویسنده مسئول: استادیار، دانشکده مهندسی مکانیک، دانشگاه سمنان. rajabi@semnan.ac.ir

مقدمه

یکی از روش‌های نسبتاً جدید و مؤثر در صنعت امروز برای خنک‌کاری قطعات داغ، انتقال حرارت به‌روش برخوردی می‌باشد. جت‌های برخوردی به‌دلیل دارا بودن نرخ انتقال حرارت بالا مورد توجه بسیاری از محققان قرار گرفته‌اند. در این روش با اعمال مومنتوم قابل توجه به یک سیال خروجی از نازل و سپس با تشکیل یک لایه نازک هیدرودینامیکی و حرارتی بر سطح برخورد، بهبود قابل توجهی در افزایش میزان انتقال جرم، حرارت و مومنتوم حاصل خواهد شد. از جت‌های برخوردی در خنک‌کاری پره‌های توربین گازی، قطعات الکترونیکی، دیواره محفظه احتراق، در صنایع دارویی و غذایی، در فرایندهای برش و شکل‌دهی فلزات و خشک کردن کاغذ استفاده می‌شود. اصلی‌ترین کاربرد جت برخوردی به سطوح مقعر، مربوط به خنک‌کاری سطح داخلی لبه جلویی پره توربین گاز است. این بخش از پره توربین در برخورد با گازهای داغ به شدت تحت تأثیر قرار می‌گیرد و نیازمند خنک‌کاری می‌باشد.

بررسی‌های متعدد قبلی نشان می‌دهد که خنک‌کاری جت برخوردی در حالت پایا به عوامل مختلفی چون عرض جت، عدد رینولدز، فاصله جت تا سطح برخورد، انحنای نسبی سطح برخورد، زاویه جت برخوردی، تعداد جت و فاصله جت‌ها از هم بستگی دارد. در سال‌های اخیر، برای افزایش انتقال حرارت جت برخوردی از سطوح برخورد، از جت‌های نوسانی استفاده می‌شود. این نوسانات می‌توانند به شکل موج سینوسی در فرکانس‌های مختلفی باشند. مطالعات محدودی به صورت عددی و تجربی در این زمینه انجام شده است.

در سال ۱۹۶۹ چوپ و همکاران [1]، مطالعاتی را بر یک ردیف جت برخوردی پایا به صفحه مقعر انجام دادند. آنها افزایش عدد رینولدز را مهم‌ترین عامل در

افزایش ضریب انتقال حرارت گزارش کردند. در سال ۱۹۹۹ سیلر و همکاران [2]، اهمیت چرخه کار (یعنی نسبت زمان چرخه نوسان به زمان کل تناوب) را برای یک جت برخوردی نوسانی دوبعدی مورد بررسی قرار دادند. آنها نشان دادند سیکل کاری ۰/۲۵ اثر بهتری از سیکل کاری ۰/۳۳ یا ۰/۵ برای فرکانس تا حدود ۶۰ هرتز تولید می‌کند. در سال ۲۰۰۲ کمسی و هر [3]، جت برخوردی خودنوسان را در هندسه دوبعدی مطالعه کردند. آنها یک جت با فلپ دوره‌ای را در امتداد محور عمودی نازل بررسی کردند و مشاهده کردند که جابه‌جایی و پخش گرما به دلیل نوسانات افزایش یافته است.

در سال ۲۰۰۴ سوریس و همکاران [4]، به بررسی عددی جت خنک‌کننده برخوردی به یک نیم‌دایره مقعر پرداختند. آنها تغییرات رینولدز جت، فاصله بین نازل و جت را در نظر گرفتند. از دو مدل K-ε و RSM استفاده کردند که دقت مدل RSM بیشتر بود. همچنین مشاهده کردند بیشترین انتقال حرارت در بالاترین رینولدز رخ می‌دهد.

در سال ۲۰۰۵ فنوت و همکاران [5]، مطالعه تجربی را بر یک ردیف جت برخوردی پایا به صفحه تخت انجام دادند. آنها تأثیر عدد رینولدز، فاصله جت تا صفحه برخورد، فاصله بین جت‌ها و همچنین دمای ورودی به جت‌ها بر عدد ناسلت مورد بررسی قرار دادند. آنها مستقل بودن ناسلت از $(T_j - T_\infty)$ را گزارش کردند. در سال ۲۰۰۶ زولکیفلی و سویان [6]، به بررسی اثر فرکانس بر انتقال حرارت محلی و انتقال حرارت متوسط روی صفحه را به صورت دوبعدی پرداختند. آنها نتیجه گرفتند که متوسط عدد ناسلت جریان نوسانی بسیار بیشتر از عدد ناسلت در حالت جت پایا است. همچنین انتقال حرارت در نقطه سکون در جت نوسانی برای همان محدوده فرکانس‌ها نسبت به حالت جت پایا کمتر است.

در سال ۲۰۰۷ هافمن و همکارانش [7]، تأثیر ضربان‌دار بودن جریان جت برخوردی به صفحه را بر انتقال حرارت و ساختار جریان در هندسه‌ای دوبعدی بررسی کردند. تغییرات فرکانس و دامنه‌های گوناگون را به‌طور جداگانه بررسی کردند و نتیجه گرفتند در فرکانس‌های بالا برای فواصل کم برخورد، انتقال حرارت افزایش می‌یابد. آستانه فرکانس برای این حالت در عدد استروهال $St=0.2$ تعیین شده است.

در سال ۲۰۰۸ فنوت و همکاران [8]، مطالعه تجربی را روی یک ردیف جت پایای دایره‌ای در برخورد با صفحه مقعر انجام دادند. آنها در مطالعه خود، تأثیر عدد رینولدز، فاصله خروجی جت تا صفحه مقعر، فاصله بین جت‌ها، انحنا نسبی و دمای هوای ورودی جت‌ها را بر توزیع عدد ناسلت مورد بررسی قرار دادند. آنها توزیع عدد ناسلت در دو راستای محوری، در دماهای متفاوت هوای ورودی به جت ارائه دادند. سال ۲۰۰۹ زولکیفلی و همکارانش [9]، مقایسه‌ای را بین عدد ناسلت جت پایا و جریان جت نوسانی برای هندسه دوبعدی انجام دادند. شار حرارتی را در موقعیت‌های شعاعی به مرکزیت نقطه سکون اندازه‌گیری کردند. آنها نتیجه گرفتند که جریان با جت نوسانی، انتقال حرارت محلی بیشتری را موجب می‌شود.

در سال ۲۰۱۱ بازدید تهران‌ی و همکاران [۱۲]، به بررسی عددی جریان و انتقال حرارت جت برخوردی نوسانی مصنوعی بر هندسه متقارن با شار حرارتی ثابت پرداختند. آنها مشاهده کردند متوسط زمانی عدد ناسلت با افزایش فاصله نازل از صفحه برخورد، افزایش یافته است. همچنین با افزایش فرکانس نوسان انتقال حرارت افزایش یافته است.

محمدپور و همکاران [۱۱ و ۱۲]، به تحلیل عددی انتقال حرارت جت شیاری برخوردی نوسانی به سطح مقعر پرداختند. آنها اثرات رینولدز جت، فاصله جت تا سطح برخورد و دامنه سرعت نوسانی را بر انتقال حرارت از سطح برخورد مورد بررسی قرار دادند. نتایج نشان دادند که افزایش نوسانی و افزایش عدد رینولدز جت منجر به افزایش میانگین انتقال حرارت از سطح می‌شود. همچنین درمقایسه با جت پایا، کاهش فاصله جت تا صفحه منجر به افزایش محسوس عدد ناسلت در ناحیه برخورد می‌شود.

در سال ۲۰۱۵ اسماعیل پور و همکاران [13]، به تحلیل عددی میدان جریان و انتقال حرارت جت برخوردی نوسانی به سطح پرداختند. آنها نشان دادند که نوسان جت برخوردی باعث کاهش انتقال حرارت در ناحیه برخورد جت و افزایش نرخ انتقال حرارت در ناحیه جت دیواره می‌شود. همچنین با افزایش فاصله از ناحیه برخورد، تأثیر نوسان جت بر انتقال حرارت کاهش می‌یابد.

در سال ۲۰۱۴ محمدپور و همکاران [14]، تحلیل عددی جریان و انتقال حرارت آشفته در جت برخوردی نوسانی را به سطح مقعر انجام دادند. آنها اثر نوسان‌های مربعی و سینوسی را بر جریان و انتقال حرارت آشفته یک جت شیاری برخوردی به سطح مقعر بررسی کردند و نشان دادند که در جت نوسانی، افزایش فرکانس باعث افزایش متوسط زمانی عدد ناسلت درمقایسه با جت پایا می‌شود. افزایش قابل‌توجهی در نرخ انتقال حرارت برای موج مربعی شکل نسبت به موج سینوسی وجود دارد.

در سال ۲۰۱۶ طریقی و رجیبی [۱۵] درمورد تأثیر جابه‌جایی افقی جت‌ها بر انتقال حرارت جابه‌جایی از سطح مقعر استوانه‌ای تحقیقاتی را ارائه کردند. آنها در یک فضای محاسباتی سه‌بعدی نشان دادند که اعمال تصحیح یاپ به‌طور قابل‌ملاحظه‌ای منجر به اصلاح تخمین بیشینه عدد ناسلت در نقطه برخورد می‌شود.

در سال ۲۰۱۶ تقی‌نیا و همکاران [16]، به بررسی عددی انتقال حرارت و جریان جت هوای برخوردی به سطح مقعر پرداختند. آنها به بررسی اثر تغییرات

در سال ۲۰۰۷ هافمن و همکارانش [7]، تأثیر ضربان‌دار بودن جریان جت برخوردی به صفحه را بر انتقال حرارت و ساختار جریان در هندسه‌ای دوبعدی بررسی کردند. تغییرات فرکانس و دامنه‌های گوناگون را به‌طور جداگانه بررسی کردند و نتیجه گرفتند در فرکانس‌های بالا برای فواصل کم برخورد، انتقال حرارت افزایش می‌یابد. آستانه فرکانس برای این حالت در عدد استروهال $St=0.2$ تعیین شده است.

در سال ۲۰۰۸ فنوت و همکاران [8]، مطالعه تجربی را روی یک ردیف جت پایای دایره‌ای در برخورد با صفحه مقعر انجام دادند. آنها در مطالعه خود، تأثیر عدد رینولدز، فاصله خروجی جت تا صفحه مقعر، فاصله بین جت‌ها، انحنا نسبی و دمای هوای ورودی جت‌ها را بر توزیع عدد ناسلت مورد بررسی قرار دادند. آنها توزیع عدد ناسلت در دو راستای محوری، در دماهای متفاوت هوای ورودی به جت ارائه دادند. سال ۲۰۰۹ زولکیفلی و همکارانش [9]، مقایسه‌ای را بین عدد ناسلت جت پایا و جریان جت نوسانی برای هندسه دوبعدی انجام دادند. شار حرارتی را در موقعیت‌های شعاعی به مرکزیت نقطه سکون اندازه‌گیری کردند. آنها نتیجه گرفتند که جریان با جت نوسانی، انتقال حرارت محلی بیشتری را موجب می‌شود.

در سال ۲۰۱۱ بازدید تهران‌ی و همکاران [۱۲]، به بررسی عددی جریان و انتقال حرارت جت برخوردی نوسانی مصنوعی بر هندسه متقارن با شار حرارتی ثابت پرداختند. آنها مشاهده کردند متوسط زمانی عدد ناسلت با افزایش فاصله نازل از صفحه برخورد، افزایش یافته است. همچنین با افزایش فرکانس نوسان انتقال حرارت افزایش یافته است.

محمدپور و همکاران [۱۱ و ۱۲]، به تحلیل عددی انتقال حرارت جت شیاری برخوردی نوسانی به سطح مقعر پرداختند. آنها اثرات رینولدز جت، فاصله جت تا سطح برخورد و دامنه سرعت نوسانی را بر انتقال

هندسی در شکل (۱) قابل مشاهده می‌باشد. همچنین شرایط مرزی استفاده شده در این پژوهش در شکل (۱) نمایش داده شده است.

شرایط در نظر گرفته شده در این تحلیل به گونه‌ای است که در ورودی جریان جت به میدان حل، شرط مرزی ورودی سرعت، که مقدار آن متناسب با عدد رینولدز در نظر گرفته شده است. سرعت در خروجی جت به صورت موج سینوسی فرض شده است. توزیع سرعت اعمال شده در خروجی جت (u_{jet}) برای حالت جت سینوسی به صورت زیر تعریف شده‌اند:

$$u_{jet} = u_{ave} + Au_{ave} \sin(2\pi ft) \quad (1)$$

که u_{avg} سرعت میانگین تعریف شده است. در موج سینوسی، نیمه اول سیکل مربوط به زمانی است که $u_{jet} > u_{avg}$ و نیمه دوم مربوط به زمانی است که $u_{jet} < u_{avg}$. اجرای این الگوی سینوسی به طور مکرر، یک سیکل نامیده می‌شود [18]. دمای هوای ورودی به جت‌ها برابر دمای محیط، یعنی ۲۹۸/۱۵ کلوین در نظر گرفته شده است و شدت آشفستگی در ورودی جت‌ها برابر ۵ درصد لحاظ شده است. همچنین باتوجه به اینکه سطح مقطع جت‌ها دایره‌ای می‌باشد، قطر هیدرولیکی مورد نیاز برای محاسبه عدد رینولدز و عدد ناسلت، برابر قطر جت‌ها فرض شده است.

$$Re = \frac{\rho u_{ave} d_h}{\mu} \quad (2)$$

$$Nu = \frac{q''}{T_w - T_j} \frac{d_j}{k_j} \quad (3)$$

که ρ, μ, k_j به ترتیب ضریب هدایت گرمایی، ویسکوزیته و چگالی هوای ورودی به جت‌ها در دمای ۲۹۸/۱۵ کلوین ($T_{jet} = 298/15 K$) می‌باشند. همچنین d_h قطر هیدرولیکی است و از تعریف زیر حاصل شده است.

فاصله برخورد نازل تا سطح مقعر پرداختند. آنها نشان دادند که مدل LES بهتر از مدل SST-SAS رفتار و انتقال حرارت جت برخوردی از سطح مقعر را پیش‌بینی می‌کند.

در تحقیق حاضر تلاش جدیدی برای تحقیق و بررسی سه‌بعدی جریان و انتقال حرارت تک‌جت برخوردی دایروی نوسانی به صفحه مقعر استوانه‌ای انجام شده است. ابتدا نتایج شبیه‌سازی جریان پایا برای هندسه سه‌بعدی (هندسه مرجع) [8] با استفاده از نرم‌افزار انسیس فلونت ۱۶ [17] مورد بررسی قرار گرفته است. در نهایت نتایج عددی با نتایج تجربی موجود اعتبارسنجی شده است. به منظور اعمال شرط ورودی نوسانی برای سرعت ورودی جت، کد محاسباتی به زبان C نوشته شده و به نرم‌افزار اضافه شده است. در این مطالعه به ارزیابی و بررسی تأثیر عدد رینولدز، فرکانس نوسان و دامنه نوسان بر میزان توزیع عدد ناسلت مورد بررسی قرار گرفته است.

هندسه و شرایط مرزی

در شکل (۱)، نمایی از تک‌جت با سطح مقطع دایره‌ای و صفحه مقعر مورد مطالعه در این پژوهش نشان داده شده است. صفحه برخورد به شکل نیم‌استوانه است به قطر ۱۰۰ میلی‌متر و دارای طولی ۴ برابر قطر جت (d) می‌باشد که به وسیله دو صفحه تخت با ارتفاع ۵۰ و عرض ۳۵ میلی‌متر (دارای طولی برابر با صفحه برخورد) امتداد داده شده است. در مطالعه تجربی انجام شده توسط فنوت و همکاران [8]، صفحه نگهدارنده‌ای در خروجی جت‌ها قرار داده شده است. این صفحه از ارتعاش جت‌ها (به دلیل سرعت بالای سیال خروجی) و همچنین از برخورد جریان برگشتی به سمت دیواره جت‌ها جلوگیری می‌کند. مطابق مطالعه تجربی [8] طول و عرض این صفحه به ترتیب ۱۰۰ و ۳۰ میلی‌متر در نظر گرفته شده است. جزئیات ابعاد

معادلات حاکم

شرایط حاکم بر جریان به صورت سه‌بعدی، آشفته، تک‌فاز و غیردائم در نظر گرفته شده است. سیال انتخابی نیز هوا با شرایط گاز ایده‌آل و تراکم‌ناپذیر می‌باشد.

معادلات پیوستگی و مومنتم و انرژی برای جریان آشفته با استفاده از متوسط‌گیری رینولدز بیان شده است که به شرح زیر است.

$$\frac{\partial \rho}{\partial t} + \frac{\partial(\rho \bar{u}_i)}{\partial x_i} = 0 \quad (5)$$

معادله بقای مومنتوم:

$$\frac{\partial(\rho \bar{u}_i)}{\partial t} + \frac{\partial(\rho \bar{u}_i \bar{u}_j)}{\partial x_j} = -\frac{\partial \bar{P}}{\partial x_i} + \frac{\partial}{\partial x_j} \left[\mu \left(\frac{\partial \bar{u}_i}{\partial x_j} + \frac{\partial \bar{u}_j}{\partial x_i} \right) - \rho \bar{u}_i \bar{u}_j' \right] \quad (6)$$

که در رابطه فرضی بوزینسک برابر است با:

$$-\rho \bar{u}_i \bar{u}_j' = \mu_t \left(\frac{\partial \bar{u}_i}{\partial x_j} + \frac{\partial \bar{u}_j}{\partial x_i} \right) - \frac{2}{3} \delta_{ij} \rho k \quad (7)$$

معادله بقای انرژی:

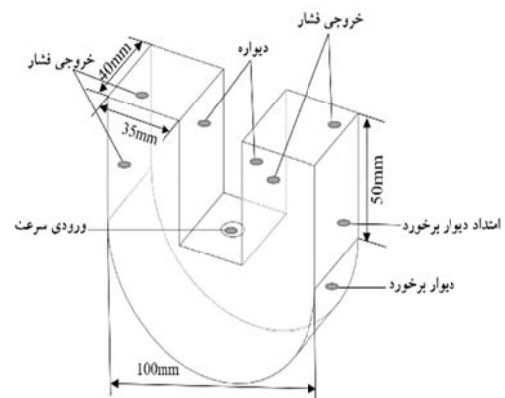
$$\frac{\partial(\rho C_p \bar{T})}{\partial t} + \frac{\partial(\rho C_p \bar{u}_i \bar{T})}{\partial x_i} = \frac{\partial}{\partial x_i} \left(k \frac{\partial \bar{T}}{\partial x_i} - \rho C_p \bar{u}_i \bar{T}' \right) \quad (8)$$

معادلات RANS عنوانی است که به معادلات فوق اطلاق می‌شود و در ضمن معادلاتی صریح هستند و هیچ فرضی در به‌دست آمدن آنها اعمال نشده است. مدل $k-\epsilon$ RNG توسط یاخوت و اورژگ [19]، در سال ۱۹۹۱ ارائه شده است. از ویژگی‌های این مدل، ارائه جواب‌های واقعی‌تر در جریان‌های همراه با چرخش است. این مدل در مسائل گذرا نتایج بهتری نسبت به سایر مدل‌های $k-\epsilon$ ارائه می‌دهد [20-22]. با توجه به ویژگی ذکر شده، مدل RNG در محدوده

$$d_h = \frac{4A}{P} = d \quad (4)$$

شایان ذکر است به صفحه برخورد و امتداد آن شار حرارتی ثابت برابر با 5000 W/m^2 اعمال شده است. همچنین دیوارهای انتهایی و دیواره نگهدارنده جت‌ها آدیاباتیک در نظر گرفته شده‌اند. روی تمامی دیواره‌های محدوده محاسباتی از شرط عدم لغزش استفاده شده است.

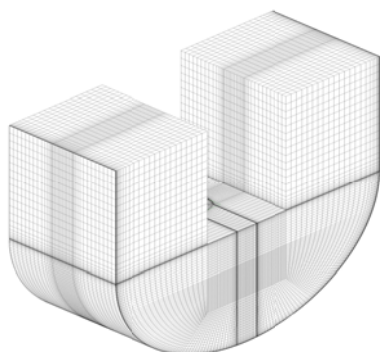
همچنین در خروجی جریان شرط مرزی خروجی فشار در نظر گرفته شده است. شرایط مرزی اعمالی بر هندسه محاسباتی از جمله دمای ورودی جت‌ها و مقدار شار حرارتی اعمالی بر سطح برخورد با توجه به شرایط کار آزمایشگاهی فنوت و همکاران [8] و تحقیقات عددی مربوط به فیزیک مسئله [13-15] انتخاب شده است.



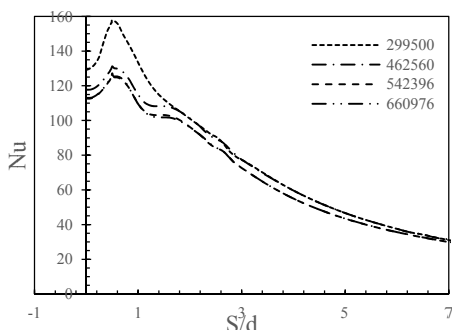
شکل ۱ هندسه میدان حل و شرایط مرزی

همچنین چسبندگی دینامیکی و گرمای ویژه هوا در فشار اتمسفر و دمای $298/15$ کلون در نظر گرفته شده است. برای محاسبه عدد رینولدز، چگالی در دمای ورودی تعریف شده است. برای تحلیل جت در حالت غیرپایا (نوسانی)، شرایط اولیه مورد نیاز است. شرایط در لحظه اولیه ($t=0$) مطابق زیر در نظر گرفته شده است: $u=v=w=0, p=p_\infty, T=T_\infty, k=\epsilon=0$.

نرم افزار انسیس فلونت ۱۶ استفاده شده است و شرایط مرزی نوسانی با نوشتن کد برنامه نویسی به زبان C و اضافه کردن به نرم افزار به ورودی جت ها اعمال شده است. همچنین باتوجه به استفاده از مدل RNG k-ε در این مسئله برای شبیه سازی دقیق رفتار جریان در نزدیکی دیواره از توابع دیواره بهبود یافته (ترکیب مدل مغشوش دولایه ای با توابع دیواره پیشرفته) استفاده شده است. در این صورت ضروری است که مقدار فاصله بدون بعد از صفحه برخورد، Y^+ در تمام طول دیواره مقعر کوچک تر از ۱ باشد [23-27]. مطابق شکل (۳)، به منظور دستیابی به حل مستقل از شبکه بندی، تعداد شبکه در سه مرحله افزایش یافته است. با مقایسه توزیع عدد ناسلت در حالت پایا، در نهایت شبکه با تعداد سلول های محاسباتی ۵۴۲,۳۹۶ انتخاب شده است.



شکل ۲ ساختار شبکه بندی محدوده جریان



شکل ۳ تأثیر تعداد شبکه بر توزیع عدد ناسلت
($Y/d=2, Re=23000$)

وسعی از جریان ها، نتایج مطمئن تر و دقیق تری را نسبت به مدل استاندارد ارائه می دهد. در این مدل، معادله انتقال نرخ اضمحلال (ϵ) اصلاح شده است. در این مدل، معادلات k و ϵ به شکل زیر است. معادله (k):

$$\frac{\partial}{\partial t}(\rho k) + \frac{\partial}{\partial x_j}(\rho U_j k) = \frac{\partial}{\partial x_j} \left[\left(\mu + \frac{\mu_t}{\sigma_k} \right) \frac{\partial k}{\partial x_j} \right] + P_k - \rho \epsilon \quad (9)$$

معادله (ϵ):

$$\frac{\partial}{\partial t}(\rho \epsilon) + \frac{\partial}{\partial x_j}(\rho U_j \epsilon) = \frac{\partial}{\partial x_j} \left[\left(\mu + \frac{\mu_t}{\sigma_\epsilon} \right) \frac{\partial \epsilon}{\partial x_j} \right] + \frac{\epsilon}{K} (C_{\epsilon 1} P_k - C_{\epsilon 2}^* \rho \epsilon) \quad (10)$$

که در رابطه فوق:

$$C_{\epsilon 2}^* = C_{\epsilon 2} + \frac{C_\mu \eta^3 \left(1 - \frac{\eta}{\eta_0} \right)}{1 + \beta \eta^3} \quad \eta = S \frac{K}{\epsilon}$$

$$\text{و } S = (2S_{ij}S_{ij})^{\frac{1}{2}}$$

ضرایب موجود در معادلات ذکر شده برای مدل RNG k-ε مطابق جدول (۱) می باشند.

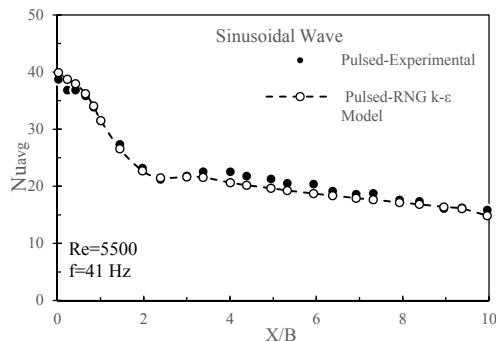
جدول ۱ ضرایب نیمه تجربی مدل k-ε

C_μ	$C_{\epsilon 1}$	$C_{\epsilon 2}$	σ_k	σ_ϵ	η_0	β
۰/۰۸۴۵	۱/۴۲	۱/۶۸	۰/۷۱۹۴	۰/۷۱۹۴	۴/۳۸	۰/۰۱۲

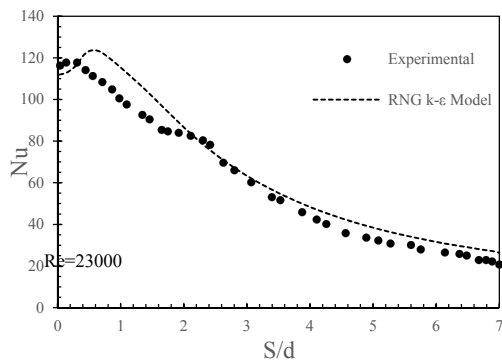
شبکه محاسباتی و روش حل عددی

در شکل (۲)، نمایی کلی از شبکه محاسباتی مورد استفاده در این تحقیق نشان داده شده است. همان طور که در شکل دیده می شود، محدوده جریان به شکل یک شبکه بندی غیر یکنواخت و سازمان یافته در نظر گرفته شده است. به منظور مدل سازی مناسب جریان مجاور دیواره، سلول های شبکه در نزدیکی صفحه برخورد ریزتر شده و بر تراکم شبکه در این ناحیه افزوده شده است. همچنین باتوجه به پیچیدگی های موجود برای مدل سازی سه بعدی، از

توزیع عدد ناسلت به دست آمده در تحقیق حاضر با داده‌های تجربی فنوت [8] در حالت پایا مورد مقایسه قرار گرفته‌اند. در شکل (5)، مقایسه عدد ناسلت در عدد رینولدز ۲۳۰۰۰ و برای جت برخوردی پایا به سطح مقعر نشان داده شده است. مقایسه نتایج عددی با داده‌های تجربی نشان می‌دهد که پیش‌بینی متوسط زمانی عدد ناسلت محلی مطابقت قابل قبولی با نتایج به دست آمده از مطالعه فنوت [8] دارد.



شکل ۴ مقایسه متوسط عدد ناسلت محلی با نتایج تجربی صفحه تخت [28]



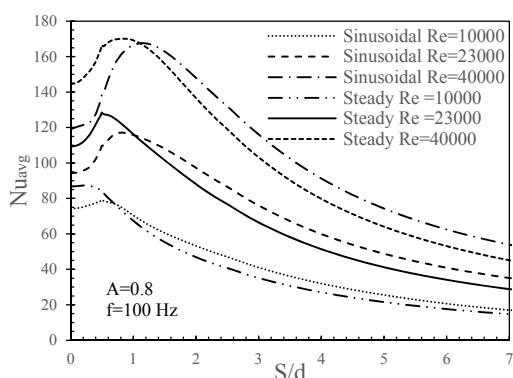
شکل ۵ مقایسه عدد ناسلت با نتایج تجربی پایا صفحه مقعر [8]

نتایج و تحلیل

تأثیر عدد رینولدز. همان‌طور که در شکل (۶) نشان داده شده است افزایش عدد رینولدز جت از ۱۰,۰۰۰ به ۴۰,۰۰۰ سبب افزایش انتقال حرارت به میزان محسوس در نقطه برخورد و راستای محوری s شده

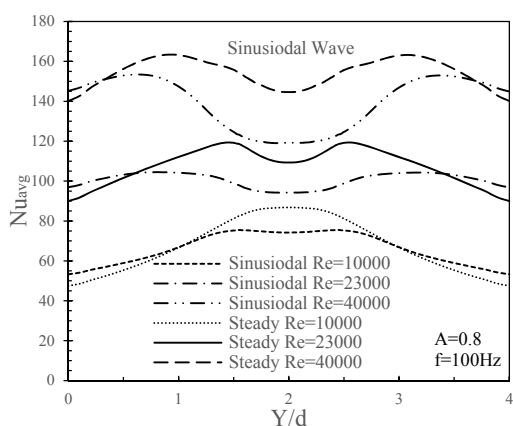
برای گسسته‌سازی معادله‌های مومنتوم، آشفتگی و انرژی از فرمول‌بندی تفکیکی و روش مجزاسازی مرتبه دوم استفاده شده و ارتباط میان فشار و سرعت از طریق الگوریتم سیمپل برقرار شده است. مبنای هم‌گرایی جواب‌ها میزان باقی‌مانده نسبی می‌باشد که در حالت پایا 10^{-6} و در حالت گذرا برای تمامی پارامترها (به جز انرژی که 10^{-6} است) 10^{-4} در نظر گرفته شده است. در این تحقیق برای بررسی استقلال نتایج از گام زمانی، هر سیکل نوسان به ۱۰، ۲۰ و ۳۰ گام زمانی تقسیم شد. به عبارت دیگر سه گام زمانی $\frac{1}{10f}$ ، $\frac{1}{20f}$ و $\frac{1}{30f}$ برای حالت نوسانی اعمال شده است. مقایسه نتایج تحقیق حاضر و تحقیقات دیگران [18] نشان می‌دهد که گام زمانی $\frac{1}{20f}$ (یک‌بیستم زمان هر سیکل)، دارای دقت حل و سرعت همگرایی مناسب است. شبیه‌سازی تا زمانی اجرا می‌شود که نوسان میدان‌های جریان و دما پایدار شود. یعنی در چرخه‌های متوالی به صورت یکسان تکرار شوند.

با توجه به عدم وجود داده‌های تجربی و عددی در مورد جت نوسانی برخوردی به سطح مقعر، مطالعه حاضر با استفاده از نتایج تحلیل تک‌جت پایا برخوردی به سطح مقعر و جت برخوردی نوسانی به یک صفحه تخت اعتبارسنجی شده است. پیش‌بینی توزیع عدد ناسلت به دست آمده در تحقیق حاضر با داده‌های تجربی از ملادین و زومبرون [28] در حالت نوسانی مورد مقایسه قرار گرفته‌اند. لازم به ذکر است شرایط مرزی دامنه حل و حوزه حل در این زمینه مطابق با تحقیق ژو و همکاران [29] می‌باشد. شکل (۴)، متوسط زمانی عدد ناسلت محلی در فرکانس ۴۱ هرتز و رینولدز ۵۵۰۰ را برای جت نوسانی برخوردی به سطح تخت نشان می‌دهد. مقایسه نتایج عددی با داده‌های تجربی نشان می‌دهد که پیش‌بینی متوسط زمانی عدد ناسلت محلی مطابقت قابل قبولی با نتایج به دست آمده از مطالعه ملادین و زومبرون [28] دارد. پیش‌بینی



شکل ۶ اثر عدد رینولدز بر توزیع متوسط زمانی عدد ناسلت محلی راستای محوری S

شکل (۷) توزیع متوسط زمانی عدد ناسلت در راستای محوری Y را نشان می‌دهد. همان‌گونه که دیده می‌شود با ایجاد نوسان در جریان، در رینولدزهای پایین در نواحی دور از نقطه برخورد و پایین دست جریان باعث افزایش جزئی در انتقال حرارت شده است. همچنین در نقطه برخورد و نواحی نزدیک نقطه برخورد ($1 < Y/d < 3$) کاهش در توزیع متوسط زمانی عدد ناسلت و انتقال حرارت از سطح مشاهده می‌شود، به‌گونه‌ای که با افزایش رینولدز اختلاف بین حالت پایا و نوسانی بیشتر می‌شود.

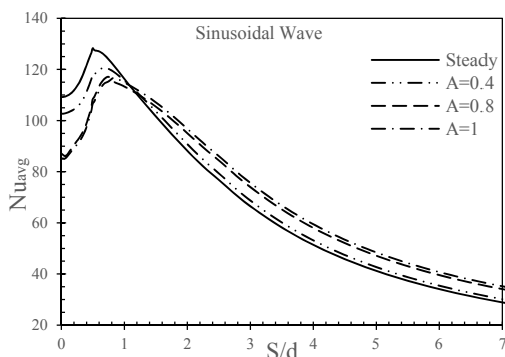


شکل ۷ اثر عدد رینولدز بر توزیع متوسط زمانی عدد ناسلت محلی راستای محوری Y

است. در مقایسه جت نوسانی با جت پایا مشاهده می‌شود که در نقطه برخورد (نقطه سکون) کاهش انتقال حرارت و عدد ناسلت مشاهده می‌شود که با افزایش عدد رینولدز این اختلاف افزایش می‌یابد، به طوری که این کاهش برای رینولدز $10,000$ برابر 13% و برای رینولدز $40,000$ در حدود 21% می‌باشد. همچنین مشاهده می‌شود در پایین دست جریان افزایش عدد رینولدز باعث افزایش بیشتری در انتقال حرارت و متوسط زمانی عدد ناسلت می‌شود. دلیل این افزایش بالاتر بودن شدت آشفتگی جت نوسانی نسبت به جت پایا در این نواحی است. همچنین در حالتی که عدد رینولدز $23,000$ و $40,000$ باشد توزیع متوسط زمانی عدد ناسلت برای جت نوسانی و همچنین توزیع عدد ناسلت جت پایا در راستای محوری دارای یک کمینه محلی می‌باشد. این در حالی است که با کاهش عدد رینولدز به $10,000$ ، چنین کمینه‌ای در حالت پایا مشاهده نمی‌شود و در حالت نوسانی در مقایسه با رینولدزهای بالاتر کاهش تقریباً ناچیزی مشاهده شده است. فنوت و همکاران [8] این حداقل نسبی در نقطه برخورد برای صفحه مقعر را به ناحیه سیال مرده ارتباط دادند. ناحیه سیال مرده توسط گیلارد و بریزی [30] در مطالعه تجربی آنها روی یک جت شیاری در برخورد با صفحه مقعر مشاهده شده است. آنها سرعت متوسط سیال در این ناحیه را بسیار ناچیز گزارش کردند. درحقیقت انحنای صفحه مقعر، اجازه خروج کامل جریان را نمی‌دهد و سبب تشکیل ناحیه سیال مرده بر خط برخورد می‌شود. این ناحیه از برخورد مستقیم جریان جت به صفحه مقعر جلوگیری می‌کند و همین امر سبب کاهش عدد ناسلت در نقطه برخورد می‌شود. با کاهش عدد رینولدز به $10,000$ از حجم ناحیه سیال مرده کاسته می‌شود و تأثیر قابل توجهی بر عدد ناسلت در نقطه برخورد ندارد.

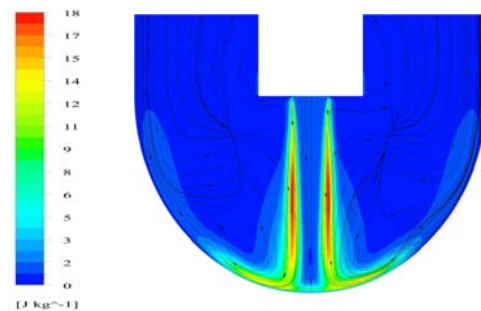
قوی‌تر است. همان‌گونه که در شکل (۸) مشاهده می‌شود برای رینولدز ۱۰,۰۰۰ گردابه‌ها مشاهده نشده است و با افزایش رینولدز گردابه‌ها تشکیل شده و نسبت به اعداد رینولدز پایین‌تر رشد چشم‌گیری داشته است.

تأثیر دامنه نوسان. شکل (۹) اثر دامنه نوسان (A) را بر متوسط زمانی عدد ناسلت محلی نشان می‌دهد. با توجه به شکل (۹)، متوسط زمانی عدد ناسلت در ناحیه برخورد، با افزایش دامنه کاهش می‌یابد و در امتداد صفحه با توجه به تشکیل گردابه قوی‌تر و بزرگ‌تر نرخ انتقال حرارت و در نتیجه متوسط عدد ناسلت افزایش می‌یابد. در نوسانات با دامنه بالاتر تفاوت چندانی بین انتقال حرارت از سطح و عدد ناسلت در ناحیه برخورد وجود ندارد. همان‌گونه که در شکل (۹) مشاهده می‌شود بین دو دامنه نوسان ۰/۸ و ۱ تفاوت چندانی در کمینه و رفتار ناسلت در S/d کوچک‌تر ۰/۸ دیده نمی‌شود. همچنین می‌توان گفت افزایش دامنه نوسان موجب بزرگ‌تر شدن گردابه‌های آشفتگی در جریان می‌شود و همین اختلاط و آشفتگی بیشتر تضعیف لایه مرزی را در پی دارد که این امر موجب افزایش انتقال حرارت می‌شود.

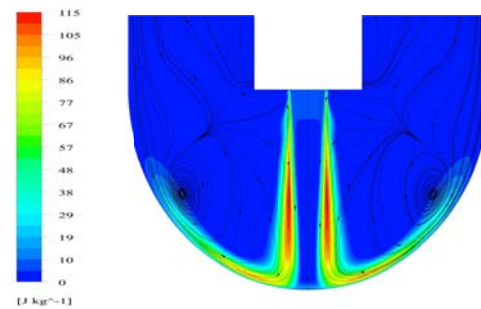


شکل ۹ اثر دامنه نوسان بر توزیع متوسط زمانی عدد ناسلت محلی راستای محوری S

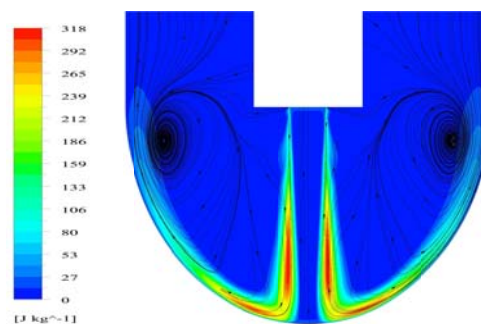
در شکل (۸) کانورهای انرژی جنبشی آشفتگی به همراه خطوط جریان برای جت نوسانی سینوسی در فرکانس ۱۰۰ هرتز، دامنه نوسان ۰/۸ و رینولدزهای مختلف در زمان $t/\tau=0.5$ نمایش داده شده است. همان‌گونه که در شکل (۸) دیده می‌شود با افزایش رینولدز انرژی جنبشی رینولدز افزایش می‌یابد.



رینولدز ۱۰,۰۰۰، $t/\tau=0.5$



رینولدز ۲۳,۰۰۰، $t/\tau=0.5$

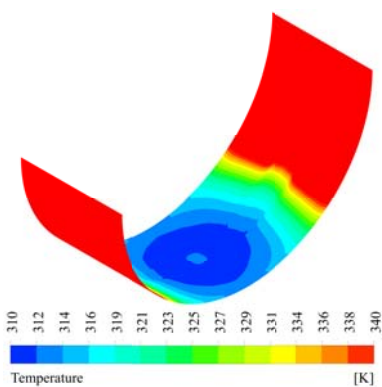
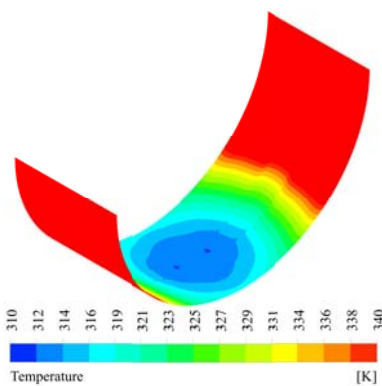
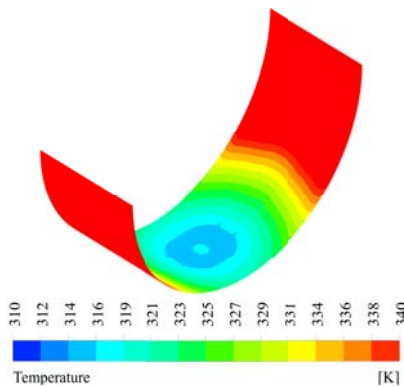


رینولدز ۴۰,۰۰۰، $t/\tau=0.5$

شکل ۸ کانور خطوط جریان- انرژی جنبشی آشفتگی جت برخوردی نوسانی $t/\tau=0.5$ ، دامنه نوسان ۰/۸ و فرکانس ۱۰۰Hz

همچنین با افزایش رینولدز گردابه‌های تشکیل شده بر اثر برخورد جت نوسانی با سطح مقعر، بزرگ‌تر و

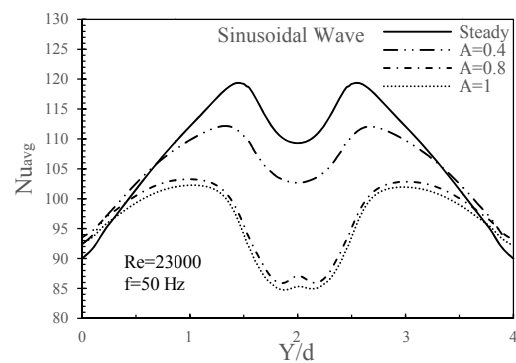
انتقال حرارت از سطح بیشتر شده و خنک‌کاری بهتری صورت گرفته است.



شکل ۱۱ کانتورهای دمای سطح برخورد در حالت پایا و جت نوسانی در زمان $t/\tau=0.25$

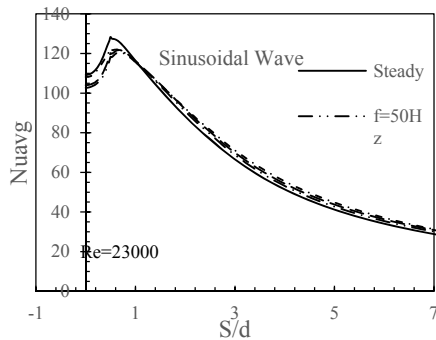
تأثیر فرکانس نوسان. شکل (۱۲) اثر تغییر فرکانس نوسان (f) بر متوسط زمانی عدد ناسلت در راستای S را نشان می‌دهد. نتایج حاکی از آن است که در

در شکل (۱۰) اثر دامنه نوسان بر توزیع متوسط عدد ناسلت در راستای محوری Y نشان داده شده است. با توجه به شکل مشاهده می‌شود با افزایش دامنه نوسان، عدد ناسلت در نقطه برخورد کاهش می‌یابد. سپس با فاصله گرفتن از نقطه برخورد $(1.4 < \frac{S}{d} < 2.6)$ عدد ناسلت افزایش و با پیشروی بیشتر $(\frac{S}{d} < 1.4, \frac{S}{d} > 2.6)$ مقدار ناسلت کاهش می‌یابد. همچنین با افزایش دامنه از ۰/۴ تا ۱ مقدار عدد ناسلت محلی کاهش یافته است. این کاهش به صورت یک مینیمم نسبی ظاهر شده است و نتایج نشان داده است که افزایش دامنه نوسان در امتداد محوری باعث کاهش انتقال حرارت می‌شود. در مقایسه جت پایا و نوسانی مشاهده می‌شود که مقدار متوسط عدد ناسلت در جت نوسانی در بیشتر نواحی دامنه حل نسبت به جت پایا کاهش داشته و در محدوده کمی در پایین دست نقطه برخورد مقدار متوسط عدد ناسلت نسبت به حالت پایا افزایش جزئی دارد.

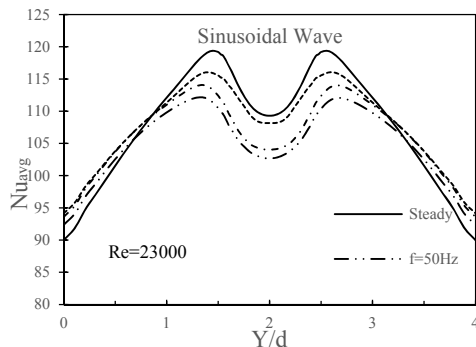


شکل ۱۰ اثر دامنه نوسان بر توزیع متوسط زمانی عدد ناسلت محلی راستای محوری Y

شکل (۱۱) اثر تغییر دامنه نوسان به وسیله کانتورهای دمای سطح برخورد، برای حالت جت پایا و سینوسی با دامنه ۰/۴ و ۰/۸ نشان داده است. همان‌طور که در شکل مشاهده می‌شود با افزایش دامنه نوسان



شکل ۱۲ اثر فرکانس نوسان بر توزیع متوسط زمانی عدد ناسلت محلی راستای محوری S



شکل ۱۳ اثر فرکانس نوسان بر توزیع متوسط زمانی عدد ناسلت محلی راستای محوری Y

شکل (۱۳) تأثیر فرکانس نوسان بر توزیع عدد ناسلت محلی در امتداد Y نمایش داده شده است. همان‌طور که مشاهده می‌شود توزیع متوسط عدد ناسلت در این راستا در نقطه برخورد کاهش می‌یابد؛ سپس با فاصله گرفتن از نقطه برخورد $(1.4 < \frac{S}{d} < 2.6)$ عدد ناسلت افزایش می‌یابد و با دور شدن بیشتر از نقطه برخورد $(\frac{S}{d} < 1.4, \frac{S}{d} > 2.6)$ مقدار ناسلت کاهش می‌یابد. در امتداد محور تغییر فرکانس در دوردست از نقطه برخورد تأثیر چندانی بر توزیع عدد ناسلت ندارد و تفاوتی بین فرکانس‌های مختلف بر مقدار متوسط زمانی عدد ناسلت دیده نشده است. علت این امر می‌تواند از بین رفتن آشفتگی ایجاد شده توسط تغییر فرکانس در این نواحی باشد که باعث عدم تفاوت در متوسط زمانی عدد ناسلت محلی در این قسمت‌ها شده

فرکانس‌های پایین تغییر چندانی در متوسط عدد ناسلت دیده نمی‌شود، اما با افزایش فرکانس میزان متوسط عدد ناسلت محلی و در نتیجه انتقال حرارت افزایش می‌یابد. با افزایش فرکانس، نوسان‌ها در یک بازه زمانی افزایش می‌یابد و همین امر موجب افزایش اختلاط و آشفتگی بیشتر جریان می‌شود. میزان آشفتگی ارتباط مستقیمی با انتقال حرارت دارد و با افزایش آن انتقال حرارت افزایش می‌یابد و دلیل اصلی این ارتباط مستقیم تأثیر آشفتگی جریان بر لایه‌های مرزی تشکیل شده روی سطح مقعر می‌باشد. لایه مرزی روی صفحه به شکل نوعی از عایق عمل می‌کند و مقاومتی را در برابر انتقال حرارت ایجاد می‌کند. هرچه این لایه مرزی کوچک‌تر و نامنظم‌تر باشد، می‌توان انتقال حرارت بهتری را شاهد بود. افزایش فرکانس هم با از بین بردن لایه‌های مرزی و آشفتگی کردن جریان میزان انتقال حرارت را تا حدودی افزایش می‌دهد. همچنین نتایج نشان می‌دهد که تأثیر فرکانس نوسان بر توزیع متوسط زمانی عدد ناسلت برای موج سینوسی در مقایسه با تأثیر تغییر دامنه سیال نامحسوس‌تر می‌باشد.

در شکل (۱۲) مشاهده می‌شود با نوسانی کردن جریان و افزایش فرکانس متوسط عدد ناسلت در نقطه برخورد نسبت به حالت جت پایا با کاهش مواجه می‌شود، در صورتی که با پیش‌روی فاصله گرفتن از محل برخورد باعث افزایش متوسط عدد ناسلت در نواحی دوردست می‌شود. زولکیفلی و همکاران [31] در تحقیقات خود، کاهش عدد ناسلت در نقطه برخورد با نوسانی شدن جریان و افزایش عدد ناسلت در دوردست جریان نسبت به جت پایا را مشاهده کردند. این کاهش در نقطه برخورد برای فرکانس ۲۰۰ هرتز برابر با ۶٪ می‌باشد در صورتی که در پایین دست جریان باعث افزایش ۱۱٪ متوسط زمانی عدد ناسلت می‌شود.

است. همچنین با افزایش فرکانس مقدار عدد ناسلت به ویژه در نقطه برخورد افزایش پیدا می کند.

است که با فاصله گرفتن از نقطه برخورد و پیش روی در جهت امتداد محوری مقدار عدد ناسلت نسبت به جت پایا افزایشی در حدود ۱۵٪ را نشان می دهد.

نتیجه گیری

در مطالعه پیش رو، شبیه سازی عددی جریان و انتقال حرارت آشفته جریان برخوردی نوسانی به یک سطح مقعر مورد بررسی قرار گرفته است. در این بررسی از جت برخوردی نوسانی سینوسی با دمای ۲۹۸/۱۵ کلوین استفاده شده است. به سطح برخورد شار حرارتی ثابتی اعمال شده و باقی دیوارها آدیاباتیک در نظر گرفته شده است. در این مطالعه بررسی ها برای اعداد رینولدز ۱۰,۰۰۰ تا ۴۰,۰۰۰، دامنه نوسان ۱ تا ۰/۴ و فرکانس ۵۰ تا ۲۰۰ هرتز برای موج سینوسی صورت گرفته است. استفاده از جت های نوسانی باعث افزایش مقدار متوسط عدد ناسلت بر سطح مقعر در مقایسه با جت پایا می شود. افزایش عدد رینولدز خروجی جت باعث افزایش قابل ملاحظه آشفته گی جریان و همچنین ایجاد گردان شدید سرعت در ناحیه نزدیک دیواره می گردد. بنابراین میزان انرژی آشفته گی در امتداد سطح برخورد به شکل قابل ملاحظه ای افزایش می یابد.

با افزایش فرکانس، نوسان ها در یک بازه زمانی افزایش می یابد و همین امر موجب افزایش اختلاط و آشفته گی بیشتر جریان می شود و در نتیجه متوسط نرخ انتقال حرارت از سطح برخورد افزایش می یابد.

با افزایش دامنه نوسان، متوسط زمانی عدد ناسلت محلی، به علت ایجاد گردابه های بزرگ تر افزایش می یابد. با توجه به نمودارها مشخص شده است که تغییرات در نواحی با فاصله از نقطه برخورد، افزایشی در حدود ۱۷٪ را شامل می شود ولی در نقطه برخورد با کاهش مقدار انتقال حرارت و متوسط زمانی عدد ناسلت به میزان تقریبی ۷٪ روبه رو می شود.

توزیع متوسط زمانی عدد ناسلت در جهت امتداد محوری برخلاف جهت امتداد سطح برخورد توزیع یکنواخت تری دارد. در نقطه برخورد برای جت برخوردی نوسانی مقدار ناسلت نسبت به جت پایا کمتر

فهرست علائم

A	دامنه نوسان
B	عرض ورودی جت برخوردی نوسانی
f	فرکانس نوسان، 1/s
q''	شار حرارتی، w/m ²
D	قطر صفحه برخورد، mm
L	طول صفحه برخورد، mm
d	قطر دهانه جت، mm
T	دمای، K
T _∞	دمای محیط، K
T _{jet}	دمای جت، K
T _w	دمای دیواره، K
P	فشار استاتیک، Pa
P _∞	فشار استاتیک محیط، Pa
p	محیط، mm
s	مسافت روی سطح مقعر، mm
y	امتداد محوری
t	زمان، s
U	سرعت، m/s
u _{jet}	سرعت خروجی جت، m/s
u _{avg}	سرعت متوسط، m/s
d _h	قطر هیدرولیکی، mm
C _p	گرمای ویژه در فشار ثابت، N.m/kg.k
k	ضریب هدایت گرمایی، w/m.k
St	عدد استروهل
Re	عدد رینولدز
Nu	عدد ناسلت
Nu _{avg}	متوسط نوسانی عدد ناسلت

فاصله بی بعد از دیواره	Y^+	تانسور نرخ کرنش	S_{ij}
زمان یک سیکل کامل، s	τ	تنش‌های رینولدز	$\rho u'_i u'_j$
چگالی، kg/m^3	ρ	تولید انرژی جنبشی آشفتگی	P_k
نرخ اضمحلال انرژی جنبشی آشفتگی	ε	جهات مختصات ($=s,y,z$)	X_i
m^2/s^3		متغیر سرعت متوسط (m/s)	u_i
انرژی جنبشی آشفتگی، m^2/s^3	K	مؤلفه‌های نوسانی سرعت (m/s)	u'_i, u'_j
ویسکوزیته دینامیکی، $kg/m.s$	μ		
ویسکوزیته آشفتگی، $kg/m.s$	μ_t		

مراجع

- Chupp, R.E., Helms, H.E., McFadden, P.W. and Brown, T.R., "Evaluation of Internal Heat-Transfer Coefficients for Impingement Cooled Turbine Airfoils", *J. Aircraft*, Vol. 6, No. 3, pp. 203-208, (1969).
- Sailor, D.J., Rohli, D.J. and Qianli, F., "Effect of Variable Duty Cycle Flow Pulsations on Heat Transfer Enhancement for an Impinging air jet", *International Journal of Heat and Fluid Flow*, Vol. 20, pp. 574-580, (1999).
- Camci, C. and Herr, F., "Forced Convection Heat Transfer Enhancement using a Self-Oscillating Impinging Planar Jet", *ASME J. Heat Transfer*, Vol. 124, pp. 770-782, (2002).
- Souris, N., Liakos, H. and Founti, M., "Impinging jet cooling on concave surfaces", *AIChE J*, Vol. 50, No. 8, pp. 1672-1683, (2004).
- Fenot, M., Vullierme, J.J. and Dorignac, E., "Local Heat Transfer Due to Several Configurations of Circular Air Jets Impinging on a Flat Plate with and without Semi-confinement", *International Journal of Thermal Sciences*, Vol. 44, No. 4, pp. 665-675, (2005).
- Rajabi Zargarabadi, M., Rezaei, E. and Yousefi-Lafouraki, B., "Numerical analysis of turbulent flow and heat transfer of sinusoidal pulsed jet impinging on an asymmetrical concave surface", *Applied Thermal Engineering*, Vol. 128, No. 1, pp. 578-585, (2018).
- Hofmann, H.M., Movileanu, D.L., Kind, M. and Martin, H., "Influence of a Pulsation on Heat Transfer and Flow Structure in Submerged Impinging Jets", *International Journal of Heat and Mass Transfer*, Vol. 50, pp. 3638-3648, (2007).
- Fenot, M., Vullierme, J.-J. and Dorignac, E., "An Experimental Study on Hot Round Jets Impinging on Concave Surface", *International Journal of Heat and Fluid Flow*, Vol. 29, No. 4, pp. 945-956, (2008).
- Zulkifli, R., Sopian, K., Abdullah, S. and Takriff, M.S., "Comparison of Local Nusselt Number between Steady and Pulsating Jet at Different Jet Reynolds Number", *WSEAS Transactions on Environment and Development*, Vol. 5, No. 5, pp. 384-393, (2009).
- Bazdidi-Tehrani, F., Karami, M. and Jahromi, M., "Unsteady flow and heat transfer analysis of an impinging synthetic jet", *Journal Heat and Mass Transfer*, Vol. 4, Issue 11, pp. 1363-1373, (2011).
- Mohammadpour, J., Rajabi-Zargarabadi, M. and Mujumdar, A.S., "Effect of intermittent and sinusoidal pulsed flows on impingement heat transfer from a concave surface", *International Journal of Thermal Sciences*, Vol. 76, pp. 118-127, (2014).
- محمدپور، جواد، رجیبی زرگرآبادی، مهران، احمدی، هادی، «تحلیل عددی جریان و انتقال حرارت آشفته در جت نوسانی بر خوردگی به سطح مقعر»، مهندسی مکانیک مدرس، ش 13، صص 129-137، (2013).
- Esmailpour, K., Hosseinalipour, M., Bozorgmehr, B. and Mujumdar, A. "A Numerical Study of Heat

- Transfer in a Turbulent Pulsating Impinging Jet", *the Canadian Journal of Chemical Engineering*, Vol. 93, pp. 959-96, (2015).
14. Mohammadpour, J., Zolfagharian, M.M., Mujumdar, A.S. and Rajabi-Zargarabadi, M., "Heat Transfer under Composite Arrangement of Pulsed and Steady Turbulent Submerged Multiple Jets Impinging on a Flat Surface", *International Journal of Thermal Science*, Vol. 86, pp. 139-147, (2014).
 ۱۵. طریقی، رضا و رجیبی زرگرآبادی، مهران، «شبیه سازی عددی تأثیر مکان استقرار جت های برخوردی بر انتقال حرارت جابه جایی از سطح مقعر استوانه ای»، علوم کاربردی و محاسباتی در مکانیک، ش ۲۷(۲)، صص ۷۱-۸۶، (۲۰۱۶).
 16. Taghinia, J., Rahman, M.D. and Timo Siikonen, M., "CFD study of turbulent jet impingement on curved surface", *Chinese Journal of Chemical Engineering*, Vol. 24, Issue 5, pp. 588-596, (2016).
 17. ANSYS Fluent16.0, User Guide, Ansys Inc., (2016).
 18. Behera, R.C., Dutta, P. and Srinivasan, K., "Numerical study of interrupted impinging jets for cooling of electronics", *IEEE Transactions on Components and Packaging Technologies*, Vol. 30, pp. 275-284, (2007).
 19. Yakhot, V., Orszag, S.A., Thangam, S., Gatski, T.B. and Speziale, C.G., "Development of Turbulence Models for Shear Flows by Double Expansion Technique", *Journal Phys Fluid*, Vol. 4, No. 7, pp. 1510-1520, (1992).
 20. Sharif, M.A.R. and Mothe, K.K., "Parametric Study of turbulent Slot-Jet Impingement Heat Transfer from Concave Cylindrical Surfaces", *International Journal of Thermal Science*, Vol. 49. No. 2, pp. 428-442, (2010).
 21. Parham, K.E., Esmaeilzadeh, U., Atikol, L.B. and Aldabagh, Y.A. "Numerical Study of Turbulent Opposed Impinging Jets Issuing from Triangular Nozzles with Different Geometries", *Heat and Mass Transfer*, Vol. 47, pp. 427-437, (2011).
 22. Liakos, H.H., Keramida, E.P., Founti, M.A. and Markatos, N.C., "Heat and Mass Transfer Study of Impinging Turbulent Premixed Flames", *Heat and Mass Transfer*, Vol. 38, No. 4-5, pp. 425-432, (2002).
 23. Martin, E.L., Wright, L.M. and Crites, D.C., "Computational investigation of jet impingement on Turbine blade leading edge cooling with engine-like temperatures", *International Conference Gas Turbine Institute*, Denmark, June 11-15, (2012).
 24. Elebiary, K. and Taslim, M.E., "Experimental/ Numerical crossover jet impingement in an airfoil Leading edge cooling channel", *Journal of Turbo machinery*, Vol. 135, No. 3, pp. 1-10, (2013).
 25. Yang, Y.T., Wei, T.C. and Wang, Y.H., "Numerical study of turbulent slot jet impingement cooling on a semi-circular concave surface", *International Journal of Heat and Mass Transfer*, Vol. 54, pp. 482-489, (2011).
 26. Xie, Y., Li, P., LAN, J. and Zhang, D., "Flow and heat transfer characteristics of single jet impinging on dimpled surface", *Journal Heat Transfer*, Vol. 135, pp. 356-361, (2013).
 27. Yang, L., Ren, J., Jiang, H. and Ligrani, P., "Experimental and numerical investigation of unsteady Impingement cooling within a blade leading edge passage", *International Journal of Heat and Mass Transfer*, Vol. 71, pp. 57-68, (2014).
 28. Mladin, E.C. and Zumbrun, D.A., "Local Convective Heat Transfer to Submerged Pulsating Jets". *Int. J. Heat Mass Transfer*, Vol. 40, pp. 3305-3321, (1997).
 29. Xu, P., Mujumdar, A.S., Poh, H.L. and Yu, B., "Heat Transfer under a Pulsed Slot Turbulent Impinging Jet at Large Temperature Differences", *Thermal Science*, Vol. 14, No. 1, pp. 271-281, (2010).
 30. Gilrd, V. and Brizzi, L.-E., "Slot jet impinging on a concave curved wall", *Journal of Fluid Engineering*, Vol. 127, pp. 595-603, (2005).
 31. Zulkifli, R., Sopian, K.S., Abdullah, S. and Sobri Takriff, M., "Comparison of Local Nusselt Number for Steady and Pulsating Circular Jet at Reynolds Number of 16000", *European Journal of Scientific Research*, Vol. 29, No. 3, pp. 369-378, (2009).